

УДК 547.722:547.811

СТЕРЕОКОНТРОЛЬ В РЕАКЦІЯХ ЕЛЕКТРОФІЛЬНОЇ ВНУТРИМОЛЕКУЛЯРНОЇ ЦИКЛІЗАЦІЇ НЕНАСЫЩЕННИХ КАРБОНОВИХ КИСЛОТ

Ю.І.Геваза, В.І.Станинець

Інститут органіческої хімії НАН України
02094, г. Київ, ул. Мурманська, 5. E-mail IOCH@bpci.kiev.ua

Ключові слова: ненасыщенные карбоновые кислоты; стереохимия лактонов; контроль хемо-, регио- и стереоселективности; хиральные центры

Рассмотрены реакции электрофильной гетероциклизации ненасыщенных карбоновых кислот, приводящие к образованию лактонов. Проанализировано влияние природы и структуры электрофильных реагентов, условий проведения реакций и строения ненасыщенных молекул на хемо-, регио- и стереоселективность реакций.

STEREOCONTROL IN ELECTROPHILIC CYCLIZATION' REACTIONS OF UNSATURATED CARBOXYLIC ACIDS

Yu.I.Gevaza, V.I.Staninets

The reactions of electrophilic cyclization of unsaturated carboxylic acids that lead to formation of lactones have been discussed. The role of the nature and structure of electrophiles, the reaction conditions and the structure of unsaturated species on chemo-, regio- and stereoselectivity have been analyzed.

СТЕРЕОКОНТРОЛЬ У РЕАКЦІЯХ ЕЛЕКТРОФІЛЬНОЇ ВНУТРІШНЬОМОЛЕКУЛЯРНОЇ ЦИКЛІЗАЦІЇ НЕНАСИЧЕНИХ КАРБОНОВИХ КИСЛОТ

Ю.І.Геваза, В.І.Станінець

Розглянуті реакції електрофільної гетероциклізації ненасичених карбонових кислот, що супроводжуються утворенням лактонів. Проаналізовано вплив природи та структури електрофільних реагентів, умов проведення реакцій, будови ненасичених молекул на хемо-, регіо- та стереоселективність реакцій.

Несмотря на то, что образование лактонов в результате реакций бромирования диаллилуксусной и диаллилмалоновой кислот впервые наблюдали Фиттиг и Хьельт ещё в 1883 г. [1, 2], а несколько позже Буго и другие авторы [3-5] исследовали реакцию йодирования β,γ - и γ,β -ненасыщенных карбоновых кислот, образование лактонов из ненасыщенных кислот под действием электрофилов до сих пор привлекает внимание исследователей. Повышенный интерес к этим превращениям обусловлен, по крайней мере, двумя факторами. Во-первых, ненасыщенные кислоты (НК) являются удобными и доступными моделями для исследования теоретических аспектов протекания реакций электрофильной внутримолекулярной циклизации (ЭВЦ), а, во-вторых, лактоны, образующиеся в результате ЭВЦ, часто обладают биологической активностью или служат промежуточными продуктами для синтеза биологически активных соединений.

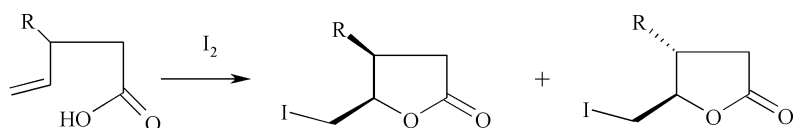
Реакциям ЭВЦ ненасыщенных кислот посвящены отдельные разделы в монографиях [6, 7], а также обзоры [8-12]. Однако, большая часть из этих публикаций посвящена синтетическим вопросам реакций ЭВЦ ненасыщенных кислот.

Связь реакционной способности и строения ненасыщенных кислот в реакциях ЭВЦ, а также кинетика и механизмы их протекания систематически исследованы учеными школы академика Е.А.Шилова [1, 7, 8, 13].

1. Субстратный стереоконтроль ЭВЦ ненасыщенных карбоновых кислот

Начало исследований стереоконтроля в реакциях йодлактонизации НК положено работами Бартлетта с сотр. [6, 14, 15]. Они показали, что реакции йодлактонизации замещённых 4-пентеновых кислот **1a,b** в кинетически контролируемых условиях (I_2 , KI , водн. $NaHCO_3$, $MeCN$, эфир), $0^\circ C$) протекают преимущественно с образованием *цис*-лактонов **2a,b** (схема 1).

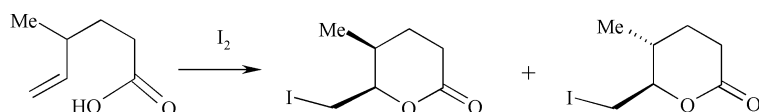
Однако, при йодировании **1a** йодколлидин-перхлоратом йодлактоны образуются с низкой стереоселективностью (*цис/транс* = 45 : 55). В отличие от этого электрофил взаимодействие **1a** с йодсукинимидом приводит преимущественно к образованию *цис*-лактона **2a** [16], а в условиях термодинамического контроля (I_2 , $MeCN$, $0^\circ C$) — к преимущественному образованию *транс*-йодлактонов **3a,b**. Эта закономерность сохраняется так-



1a,b

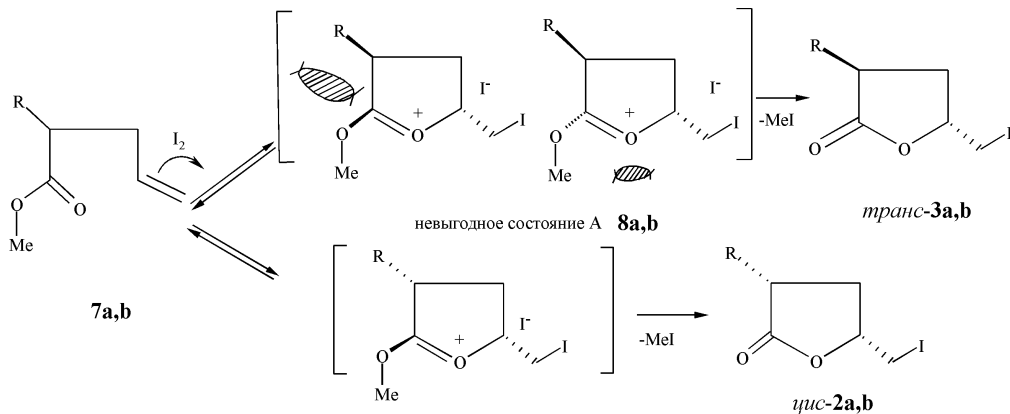
a R = Me; **2a/3a** = 3:1; **b** R = Ph, **2b/3b** = 3:1 (кінетичкий контроль);
b R = Ph, **2b/3b** = 1:10 (термодинамічний контроль)

Схема 1



4 **5** **6**
5/6 = 2,5 : 1 (кінетичкий контроль); **5/6** = 1 : 10 (термодинамічний контроль)

Схема 2



a R = Me, **2/3** = 1 : 10; **b** R = Ph, **2/3** < 1:10

Схема 3

же при образовании шестичленных лактонов **5a,b** и **6a,b** при йодировании 4-метил-5-пентеновой кислоты **4** (схема 2).

Первоначально возможность осуществления стереоконтроля в реакции йодлактонизации была установлена при йодировании сложных метиоловых эфиров **7a,b**. В этом случае промежуточно образующийся циклический оксокарбониевый ион **8a,b** находится в равновесии с исходным ациклическим метиловым эфиром **7a,b** до тех пор, пока не произойдёт деметилирование **8a,b**, при котором образуется преимущественно термодинамически более выгодный *транс*-продукт **3** (схема 3).

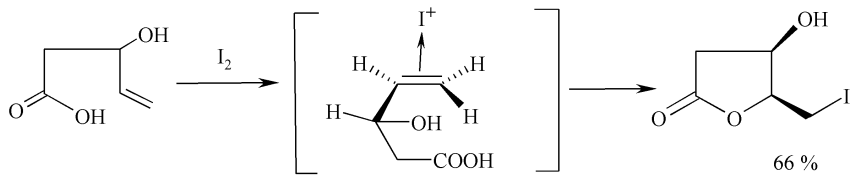
Авторами [6, 14, 15] констатировано, что самым общим методом осуществления стереоконтроля является проведение йодлактонизации при внутримолекулярном участии свободной карбоксильной группы. В этих условиях *цис*- и *транс*-оксониевые

циклические интермедиаты находятся в равновесии, а за счёт смещения равновесия может достигаться высокий уровень стереоселективности ЭВЦ.

В работах [17–19] предложена новая модель для осуществления стереоконтроля в реакциях йодлактонизации. Так, взаимодействие 3-гидрокси-4-пентеновой кислоты **9** с йодом в кинетически контролируемых условиях приводит к селективному образованию *цис*-лактона **10** (соотношение *цис*/*транс* = 93 : 7) (схема 4).

В этом случае, по-видимому, преимущественная атака йода осуществляется на OH-плоскостной конформер **A**.

На примерах йодирования кислоты **11a** и её ацетатных и силильных эфиров **11b,c** установлено, что причиной высокой стереоселективности реакции не является образование внутримолекулярной водородной связи за счёт участия гидроксиль-

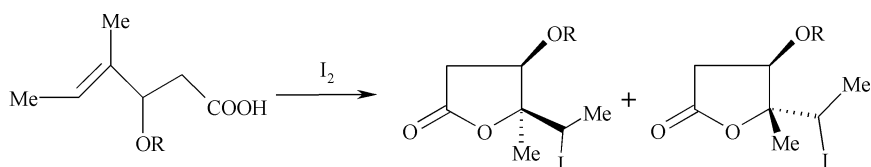


9

A

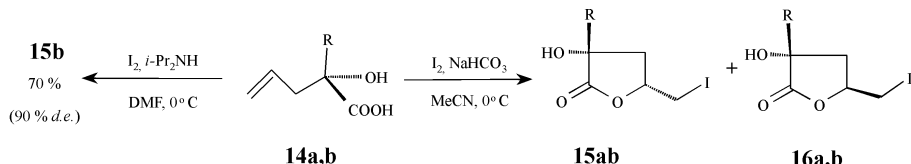
10

Схема 4



11a-c
a R = H, *цис/транс* = 96 : 4, 82%; b R = OAc, *цис/транс* = 94 : 6, 70%;
c R = OSiMe₃, *цис/транс* = 96 : 4, 84%

Схема 5



a R = H, *цис/транс* = 99 : 1, 78%; b R = Ph, *цис/транс* = 66 : 34, 82%

Схема 6

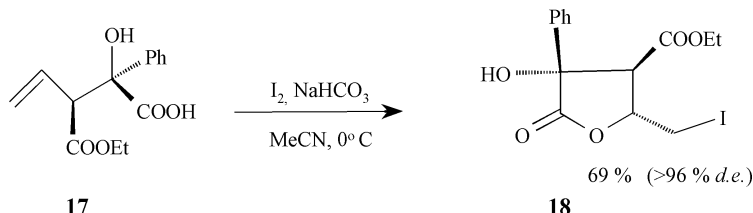


Схема 7

ной группы, так как её замена на OAc и OSiMe₃ не приводит к изменению соотношения *цис/транс*-лактонов **12a-c** и **13a-c**, оно остаётся относительно неизменным (схема 5).

Высокий уровень образования *цис*-лактонов **15a,b** наблюдается также при йодировании 2-гидрокси-4-пентеновых кислот **14a,b** (схема 6).

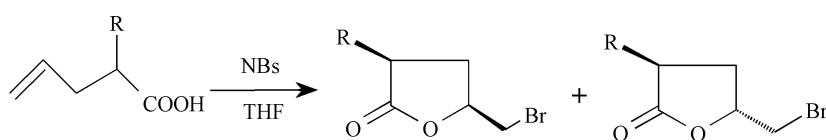
Если в положение 3 молекулы **14b** ввести дополнительную этилкарбоксилатную группу, то при йодировании этой кислоты **17** стереоселективность образования **18** остаётся довольно высокой (схема 7) [20].

Преимущественное образование *цис*-лактонов **20a-e** наблюдается также при бромлактонизации 2-амино-4-пентеновых кислот **19a-e** (схема 8) [21].

Цис-стереоселективное образование **20a-e** авторы [22] объясняют природой аминозаместителя и его объемом. Они предлагают циклическое переходное состояние реакции, в котором бромний-катион стабилизирован свободной электронной парой атома азота.

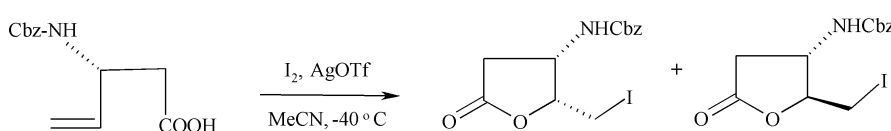
Йодлактонизация 3-амино-4-пентеновой кислоты **22** йодом в присутствии трифлата серебра приводит к селективному образованию *цис*-γ-йодолактона **23**. Соотношение изомеров **23/24** равно 15:1, выход — 97% [22] (схема 9).

Гидроксикислота **25** в зависимости от природы селеносодержащего реагента хемоселективно приводит к образованию производных тетрагидрофуранов **26** и **27** или замещённых γ-лактонов **28** и **29** [23] (схема 10).



a R = NHCbz, **20a/21a** = 8 : 1, 80%; b R = NHBoc, **20b/21b** = 8 : 1, 82%; c R = NHCHO, **20c/21c** = 8 : 1, 40%;
d R = NPht, **20d/21d** = 6 : 1, 81%; e R = NHTs, **20e/21e** = 8,8 : 1, 100%

Схема 8



22

23

24

Схема 9

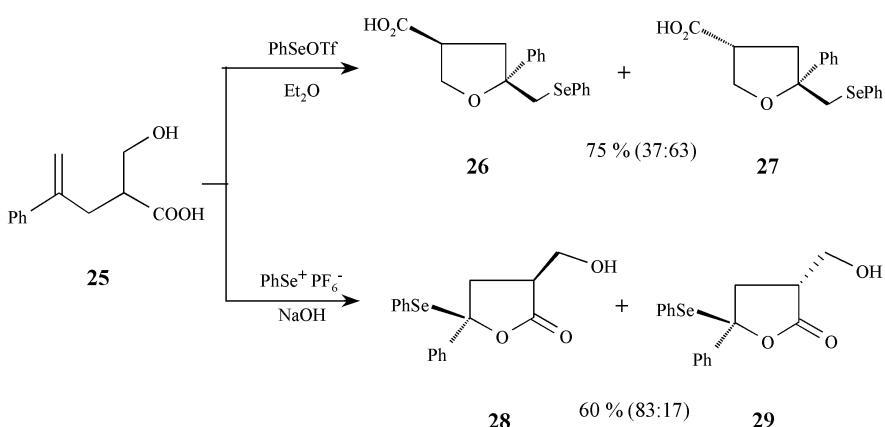


Схема 10

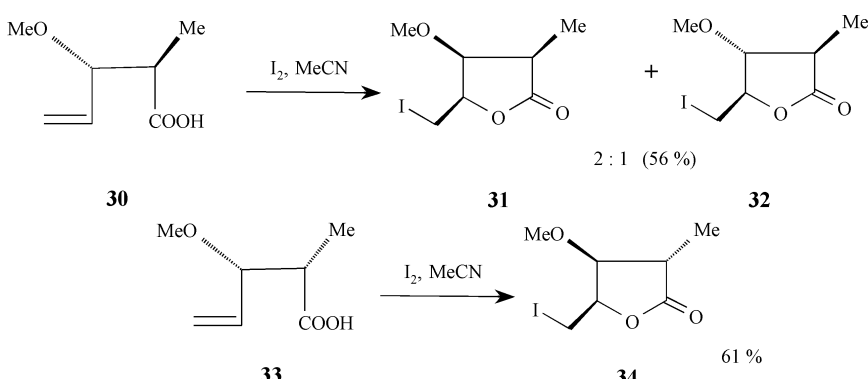
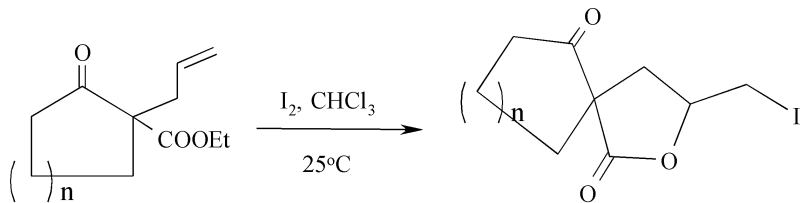
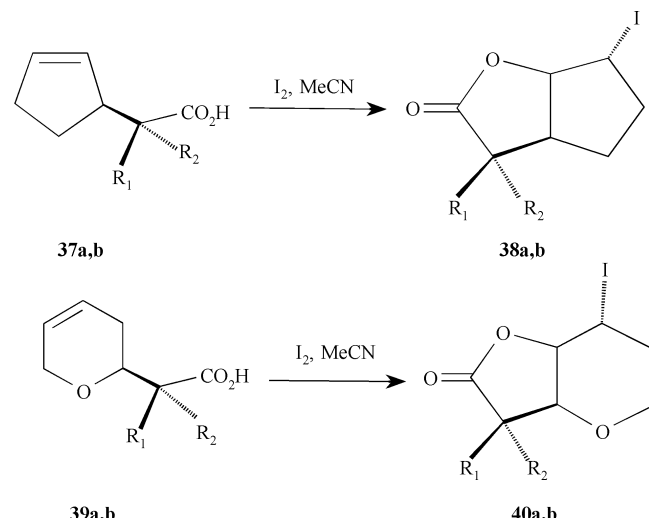


Схема 11



a n = 1, 73% (100% d.e.); b n = 2, 87% (100% d.e.); c n = 3, 90% (100% d.e.); d n = 4, 95% (100% d.e.)

Схема 12



37 и 38: a R₁ = H, R₂ = Me, 85%;
 b R₁ = Me, R₂ = H, 70%;
 39 и 40: a R₁ = H, R₂ = Me, 83%;
 b R₁ = Me, R₂ = H, 80 %

Схема 13

Стереоселективное образование *цис*-4,5-дизамещённых лактонов 31 и 32 наблюдается при йодировании кислот 30 и 33 в термодинамически контролируемых условиях [24] (схема 11).

Спирокетолактоны 36a-d образуются в реакции йодирования этиловых эфиров кислот 35a-d [25] (схема 12).

Преимущественная диаксиальная ориентация атома кислорода лактонного цикла и атома йода наблюдается в сочленённой структуре лактонов 38a,b и 40a,b (схема 13), которые получены в результате йодлактонизации кислот 37a,b и 39a,b [24].

Йодциклизация 3-замещённых гексеновых кислот 41a-e (схема 14), приводит к образованию смеси изомерных δ -лактонов 42a-e и 43a-e [27].

Селективность образования продуктов реакции зависит от природы заместителя R. Так, в случае йодирования 41a-e в кинетически контролируемых условиях соотношение изомеров составляет 3 : 1 и 6 : 1 — в термодинамически контролируемых условиях [14]. Преимущественное образование *цис*-4,6-дизамещённого валеролактона 42a пред-

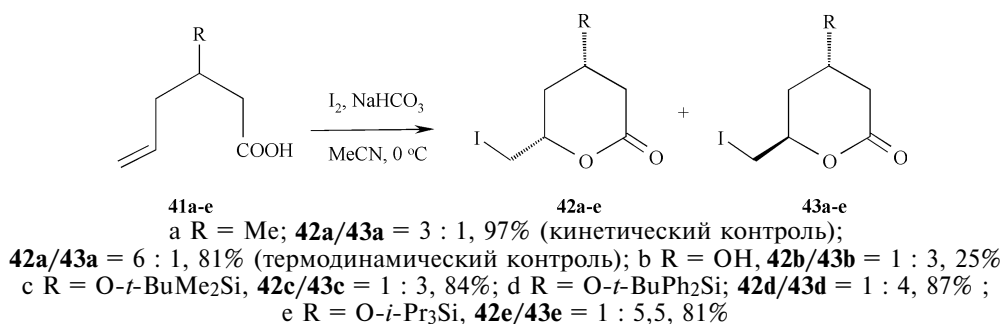


Схема 14

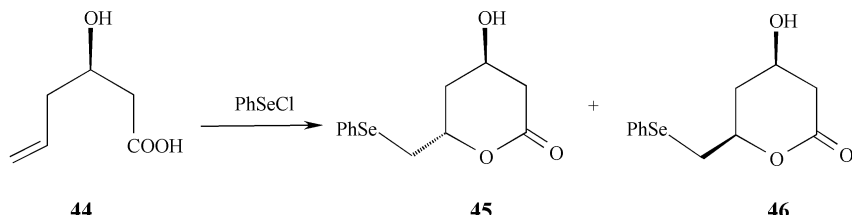


Схема 15

полагает, что в креслоподобном циклическом переходном состоянии реакции оба заместителя находятся в псевдоэкваториальном положении.

Стереоселективность йодциклизации кислот **41b-e**, которые в качестве заместителя содержат такие группы как R = OH, t-BuPh₂Si и др., меняется в сторону увеличения содержания в продуктах реакции *транс*-изомеров **43b-e**. Так как содержание *транс*-изомеров возрастает с увеличением объема силилоксигруппы, нельзя однозначно утверждать, что образование внутримолекулярной водородной связи между карбоксильной группой и сильной функцией является фактором, контролирующим стереоселективность реакции. Возможно, из-за стерического требования объемных силилокси- и йодметильной групп циклизация протекает преимущественно через ванноподобное переходное состояние [27, 28].

Аналогично йодциклизации **41b** гидроксикислота **44** в результате сelenоциклизации в кинетически контролируемых условиях приводит к преимущественному образованию *транс*-селенолактона (соотношение **45/46** ~ 10 : 1, 40%). Селеноциклизация **44** в термодинамически контролируемых условиях даёт смесь лактонов в соотношении **45/46** = 1:1 и с выходом 65% [27] (схема 15).

Йодлактонизация Z-3-силилокси-5-алкеновых кислот **47a-c** протекает с образованием смеси

изомерных лактонов **48a-c** и **49a-c** с преобладанием *транс*-продуктов **48a-c** [29, 30] (схема 16).

В случае йодирования кислоты **47c** образуется практически только стереоизомер **48c**.

E-3-Силилокси-5-гексеновая кислота **50** в аналогичных условиях йодирования даёт два лактона **51** и **52** с соотношением 9 : 1 [30] (схема 17).

Стереоселективное образование *транс*-лактонов **48a-c** и **51**, по-видимому, обусловлено структурой переходного состояния реакции (A), в котором стереохимия лактонизации контролируется внутримолекулярной водородной связью между карбоксильной и сильной группами (схема 18).

Значительный интерес представляет синтез семизвездных и большей величины лактонов с использованием реакции электрофильной гетероциклизации НК. Описаны несколько примеров образования ε-капролактонов в результате лактонизации соответствующих НК с помощью бис(симв-коллидин)йодонийперхлората [16], фенилселенилфталимида [31, 32], NBS и йода [33, 34].

Авторы [35, 36] также исследовали образование 7- и 8-14-звенных лактонов из соответствующих ненасыщенных кислот **53a-c** и показали, что преимущество йодколлидин-гексафторофосфата (ЙКГФФ), по сравнению с другими реагентами, заключается в том, что анион PF₆⁻ обладает низкой нуклеофильностью, что способствует протеканию реак-

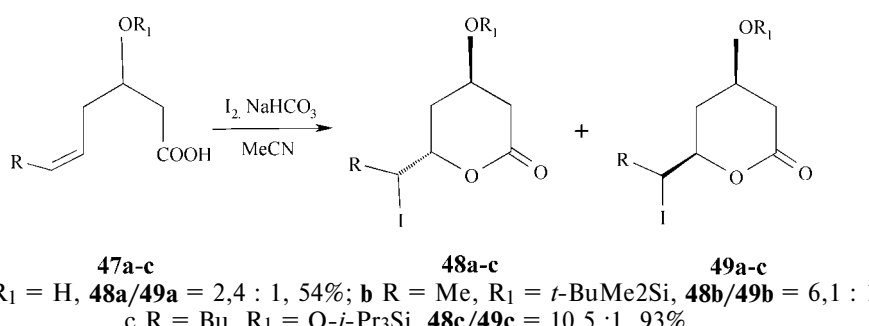


Схема 16

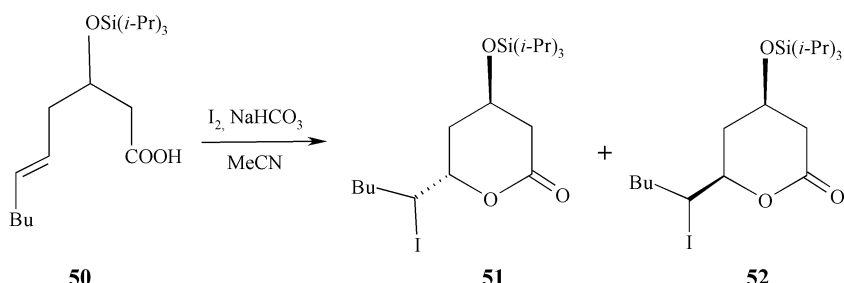


Схема 17

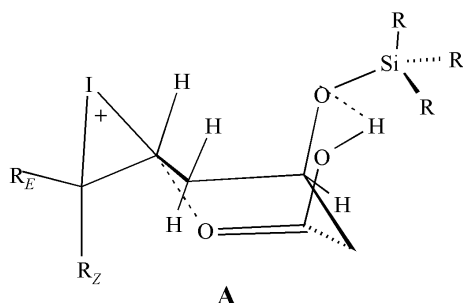


Схема 18

ции лактонизации при участии сольватно-разделённых ионных пар. Это обстоятельство позволяет использовать данный реагент для осуществления лактонизации широкого круга ненасыщенных кислот (схема 19).

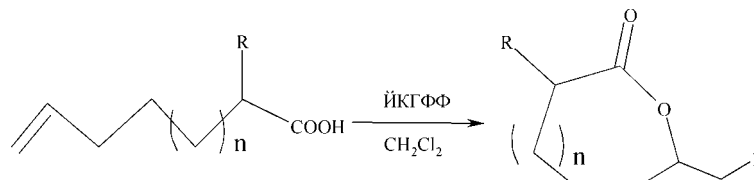
При взаимодействии 6-гептеновой кислоты **53a** с ЙКГФФ образуется ϵ -капролактон **54a** с высоким выходом. Однако, выходы 8- и 11-звенных лактонов **54b** и **54c** резко снижаются при лактонизации 7-октеновой **45b** и соответственно 10-ундекеновой **46c** кислот (схема 19). Лактоны **54d-f** получены в виде двух диастереоизомеров в соотношении *цис/транс* = 43 : 57. Из этого следует, что введение объёмных алкильных групп в α -положение к карбоксили **53d-f** практически не влияет на стереоселективность образования 7-звенных лактонов в отличие от 5- и 6-звенных йодла-

ктонаов при проведении реакции в термодинамически контролируемых условиях [14, 15].

На схеме 20 приведены результаты йодирования 4-окса-6-гептеновой кислоты **55** различными йодсодержащими электрофилами. Образование 7-звенного лактона **56** наблюдается только в случаях йодирования йодколлидинперхлоратом (пример **d**) и йодколлидин(пиридин)гексафторфосфатом (примеры **e-f,g**) [36, 37]. Максимальный выход (59%) йодлактона **56** получен при йодировании **55** с помощью ЙКГФФ, что значительно ниже выхода (75%) йодлактона, полученного при йодлактонизации 6-гептеновой кислоты **45a**. Это говорит о слабом специфическом негативном влиянии атома кислорода при образовании 7-звенных лактонов **56**. Аналогичная картина наблюдается также при образовании 6-членных йодлактонов, которые получаются йодированием кислот, содержащих в ненасыщенной цепи гетероатомы O, S или NH [38].

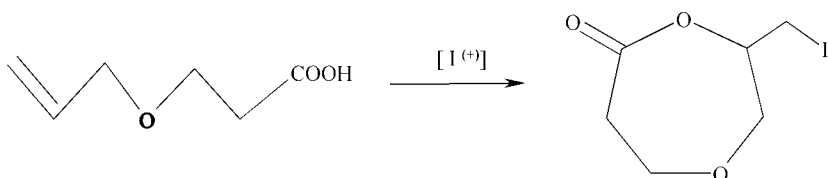
Как следует из схемы 21, при образовании 8-12-звенных лактонов **58** и **59** из кислот **57a-l**, благодаря участию атома кислорода в стабилизации переходного состояния реакции лактонизации, проявляется его противоположное действие [36], которое способствует циклизации.

Введение метильной группы к предпоследнему атому углерода двойной связи ненасыщенной кис-



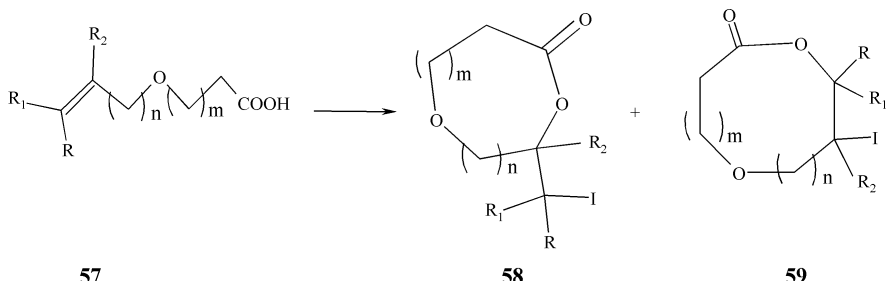
53a-f
a R = H, n = 1, 76%; b R = H, n = 2, 5%; c R = H, n = 5, 4%;
d R = Me, n = 1, 49%; e R = C₆H₁₁, n = 1, 79%; f R = t-Bu, n = 1, 72%

Схема 19



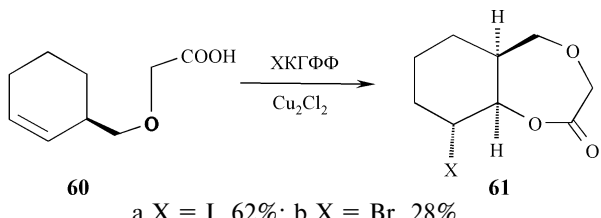
a $I_2/MeCN$, 0%; b ICl/CH_2Cl_2 , 0%; c $NiS(AgOTf)/CH_2Cl_2$, 0%;
d $I^{(+)}(\text{collidin})ClO_4^{(-)}/CH_2Cl_2$, 24% [16]; e $I^{(+)}(\text{pyridin})PF_6^{(-)}/CH_2Cl_2$, 20%;
f $I^{(+)}(\text{collidin})PF_6^{(-)}/CH_2Cl_2$, 59% [16]; g $I^{(+)}(2,6\text{-dimetoksiipyridin})_2PF_6^{(-)}/CH_2Cl_2$, 10%

Схема 20



- a $R = R_1 = R_2 = H$, $m = 0$, $n = 2$, 50, 75%; b $R = R_1 = R_2 = H$, $m = 0$, $n = 3$, 50, $58b/59b = 1 : 1$, 46%;
 c $R = R_1 = R_2 = H$, $m = 1$, $n = 2$, $58c/59c = 8 : 1$ 45%; d $R = R_1 = R_2 = H$, $m = 2$, $n = 1$, $58d$, 8%;
 e $R = R_1 = R_2 = H$, $m = n = 2$, $58e/59e = 1 : 1$, 48%; f $R = R_1 = R_2 = H$, $m = 0$, $n = 5$, $58f/59f = 1 : 1$, 36%;
 g $R = R_1 = R_2 = H$, $m = 0$, $n = 6$, $58g/59g = 1 : 3$, 28%; h $R = R_1 = R_2 = H$, $m = 2$, $n = 5$, $58h/59h = 1 : 1$, 32%;
 i $R = R_1 = H$, $R_2 = Me$, $m = n = 1$, $58i$, 70%; j $R = Me$, $R_1 = R_2 = H$, $m = n = 1$, $58j/59j = 1 : 1$, 90%;
 k $R_1 = Me$, $R = R_2 = H$, $m = n = 1$, $58k/59k = 1 : 1$, 80%;
 l $R = R_1 = Me$, $R_2 = H$, $m = n = 1$, $58l/59l = 1 : 8$, 44%; m $R = R_1 = H$, $R_2 = Me$, $m = 0$, $n = 2$, $58m$, 75%

Схема 21



- a $X = I$, 62%; b $X = Br$, 28%

Схема 22

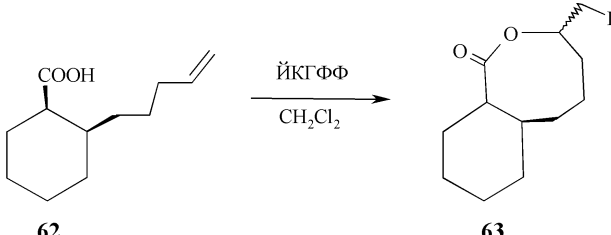


Схема 23

лоты **57i,m** увеличивает выход экзо-лактона **58i,m**. Продукт эндо-циклизации при этом вовсе не образуется.

Наличие метильного заместителя у крайнего атома углерода кратной связи кислот **57j,k** приводит к образованию экзо- **58j,k** и эндо- **59j,k** лакто-

нов. В случае двух метильных групп у концевого атома углерода кислоты **57l** образуется преимущественно продукт эндо-циклизации **59l** [36, 39].

Введение гем-диметильных групп в другие положения ненасыщенной цепи кислот не приводит к существенному увеличению выходов капролактонов, однако, несколько повышает только выходы 8-12-звенных лактонов [39].

Циклогексенкарбоновая кислота **60** в результате взаимодействия с йод- и бромколлидингексафторофосфатом приводит к образованию только бициклического *транс*-сочленённого лактона **61** [40] (схема 22).

Циклизация циклогексенкарбоновой кислоты **62** ЙКГФ даёт смесь стереоизомерных экзо-лактонов **63** (выход 51%, 66 : 34) (схема 23).

Циклогексенкарбоновые кислоты **62a,b** образуют также смесь экзо- и эндо-лактонов **65a,b** и **66a,b** с превалированием продуктов экзо-циклизации [41] (схема 24).

Более высокие выходы лактонов в случае циклизации кислот **64a,b** по сравнению с кислотой **62** авторы объясняют недостаточной жёсткостью мо-

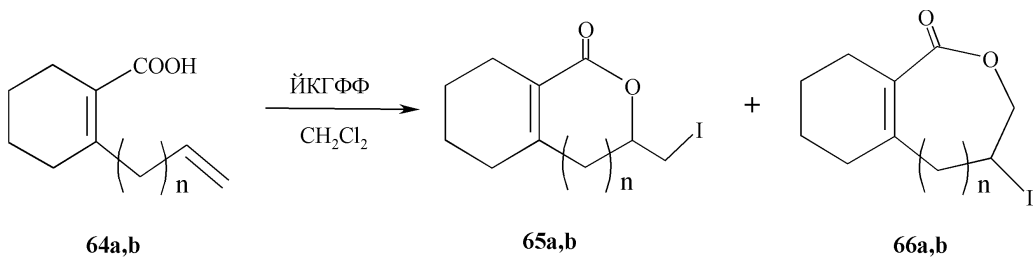
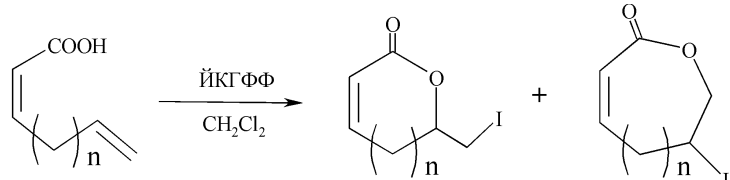


Схема 24

- a $n = 3$, $65a/66a = 100 : 0$, 75%; b $n = 4$, $65b/66b = 80 : 20$, 50%

- a $n = 3$, $68a/69a = 100 : 0$, 80%; b $n = 4$, $68b/69b = 60 : 40$, 30%; c $n = 5$, $68a/69a = 50 : 50$, 20%

Схема 25



Таблиця 1

Галогенлактонизація кислот 70a-k

	Размер экзо- и эндо-лактонов	Йодолактоны (X = I) Соотношение экзо/эндо, общий выход	Бромолактоны(X = Br) Соотношение экзо/эндо, общий выход
a	7 : 8	71a/72a = 100 : 1, 93%	71a'/72a' = 100 : 1, 95%
b	8 : 9	71b/72b = 98 : 2, 80%	71b'/72b' = 80 : 20, 78%
c	9 : 10	71c/72c = 69 : 31, 84%	71c'/72c' = 66 : 34, 50%
d	10 : 11	71d/72d = 60 : 40, 52%	71d'/72d' = 52 : 48, 40%
e	11 : 12	71e/72e = 53 : 47, 46%	71e'/72e' = 47 : 53, 35%
f	12 : 13	71f/72f = 82 : 18, 48%	71f'/72f' = 64 : 36, 35%
g	13 : 14	71g/72g = 84 : 16, 55%	71g'/72g' = 72 : 38, 40%
h	14 : 15	71h/72h = 85 : 15, 62%	71h'/72h' = 75 : 25, 40%
i	15 : 16	71i/72i = 81 : 19, 55%	71i'/72i' = 70 : 30, 45%
j	16 : 17	71j/72j = 76 : 24, 46%	71j'/72j' = 66 : 34, 30%
k	19 : 20	71k/72k = 67 : 33, 53%	71k'/72k' = 50 : 50, 35%

молекулы **62** для получения удовлетворительных выходов продуктов реакции [41].

Циклизация *Z*-диенкарбоновых кислот **67a-c** приводит также к образованию смеси экзо- и эндо-лактонов **68a-c** и **69a-c**, причём содержание последних заметно возрастает с увеличением размера цикла лактона, хотя в целом, выходы лактонов и снижаются при возрастании значения *n* (схема 25).

E-Диенкарбоновая кислота **67c** (*n* = 5) образует смеси экзо- и эндо-лактонов с соотношением 70 : 30 и выходом 21% [41].

Исследование реакции циклизации 2-(ω -алкенил)бензойных кислот **70a-k** с помощью йод(бром)коллидингексафторофосфатов показало, что за исключением 2-(бутен-3-ил)бензойной кислоты **70a**, которая даёт в результате реакции только экзо-лактон **71a**, все остальные кислоты **70a-k** приводят к образованию смеси экзо- и эндо-продуктов **71b-k** и **72b-k** (схема 26) [42].

Из табл. 1 следует, что при галогенолактонизации кислот **70a-k** с удлинением ненасыщенной цепи (*n* = 1-11) в молекулах наблюдается сначала снижение содержания экзо-лактонов и увеличение содержания эндо-продуктов в ряду до кислоты **70e**, а затем содержание экзо-лактонов в смеси снова возрастает в ряду до кислоты **70h**, а содержание эндо-лактонов снижается. Полученные результаты согласуются с данными молекулярных

расчетов, которые учитывают влияние электронных и стерических эффектов. Более высокое содержание эндо-лактонов, полученное в результате бромирования, объясняется влиянием электронных факторов [42].

Менее изученным является процесс образования малых циклов в реакциях ЭГЦ. Из ранних работ известно, что анионы акриловой и кротоновой кислот, структура которых допускает образование только β -лактонов, не реагируют с йодом. Не приводит к образованию 4-звенного йодлактона йодирование 3-бутиновой кислоты [1, 43] в отличие от её бромирования [44-46].

β -Лактоны удалось получить при бромировании и хлорировании диметилмалеи-новой и диметилфумаровой кислот [47], а также бромолактонизацией *цис*-и *транс*-2-стильбенкарбоновых кислот [48]. К их образованию также приводит взаимодействие α,β -ненасыщенных кислот с гипохлоритом кальция [49]. Йодколлидин перхлорат, в отличие от йода, при взаимодействии с 3-бутиновой кислотой в результате экзо-лактонизации даёт замещённый β -лактон [16]. Все указанные реакции протекают с низкими выходами, что можно объяснить высоким напряжением циклических переходных состояний.

Авторами работы [50] показано, что в результате бромоциклизации β,γ -ненасыщенных кислот **73a-c** в присутствии оснований с хорошими вы-

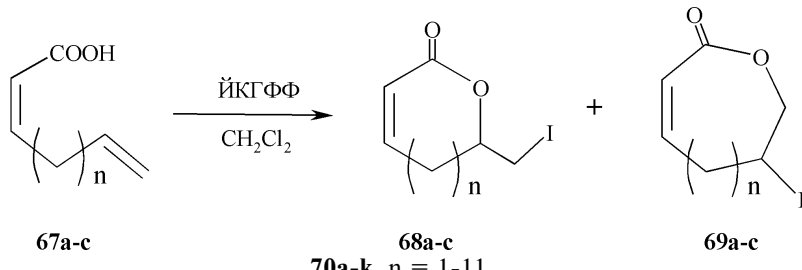
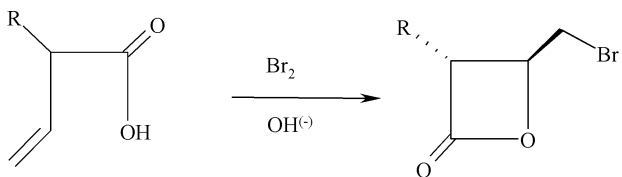
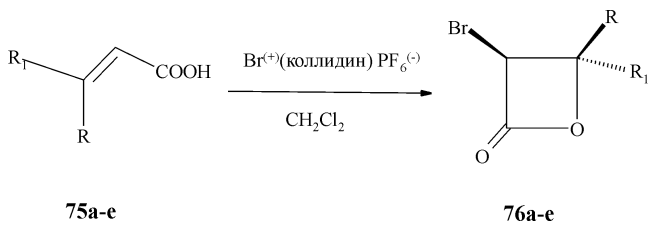


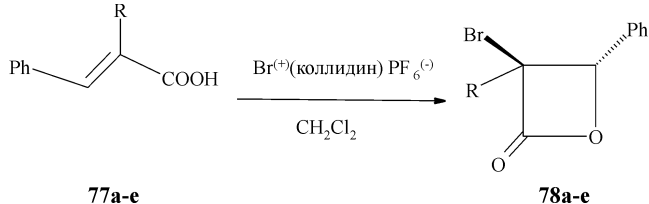
Схема 26



73a-c
a R = Me, 58%; b R = Bu, 72%; c R = PhCH₂, 82%
Схема 27



75a-e
a R = R₁ = Me, 23%; b R = R₁ = Bu, 60%;
c R = R₁ = -(CH₂)₅, 60%; d R = C₅H₁₁, R₁ = Me, 60%;
e R = C₅H₁₁, R₁ = Me, *цис/транс* = 50 : 50, 50%
Схема 28



77a-e
a R = Me, 50%; b R = Me, *цис/транс* = 50 : 50, 50%;
c R = Ph, 37%
Схема 29

ходами наблюдается стереоспецифическое образование *экзо*-бромолактонов 74a-c (схема 27).

Примеры слабо стереоселективного образования 4-звенных эндо-бромолактонов 76a-e, которые получены в результате бромирования α,β -ненасыщенных кислот 75a-e при помощи бромколлидинексафторофосфата, приведены в работах [51, 52] (схема 28).

Ненасыщенные кислоты 77a-c, имеющие заместители в α - и β -положениях, в результате ана-

логичной реакции дают также эндо- β -лактоны 78a-c (схема 29).

Бромоциклизация Z-3-метил-2-октеновой 75d и E-3-фенил-2-метилпропеновой 77a кислот приводит к образованию только по одному стереоизомерному лактону 76d и 78a, в то время как смесь (50 : 50) E/Z-изомерных кислот 75e и 77b даёт смеси (50 : 50) диастереомерных лактонов 76e и 78b. Этот факт говорит о диастереоспецифичности этой реакции.

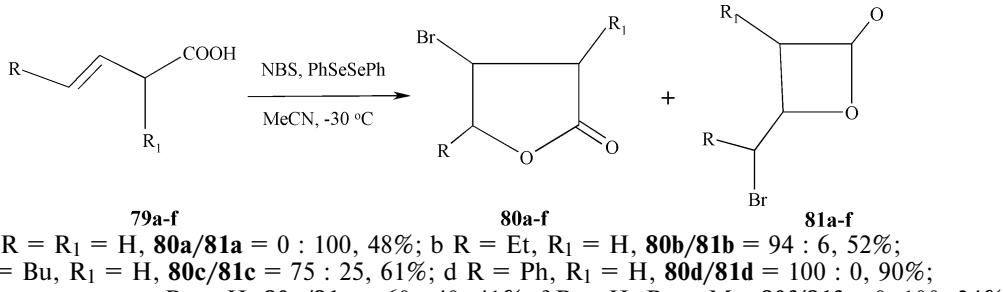
При бромировании β,γ -ненасыщенных кислот 79a-f NBS в присутствии фенилдиселенида наблюдалось образование смеси γ - и β -лактонов 80a-f и 81a-f [53]. Обнаружено, что регионконтроль в этой реакции осуществляют катализитические добавки PhSeSePh (схема 30).

Бромирование *транс*-кислоты 75b в отсутствие фенилдиселенида даёт смесь γ - и β -лактонов в соотношении 5 : 1. В этой реакции, наряду с бромолактонами, образуются вицинальные бромиды как результат присоединения брома по кратной связи.

Взаимодействие *транс*-стирилуксусной кислоты 79d с N-хлоросукцинимидом в присутствии фенилдиселилхлорида приводит к образованию только β -хлоро- γ -лактона 82, а в отсутствие PhSeCl выход лактона 82 составляет менее одного процента [51] (схема 31).

Изучена региоселективность образования 5- и 6-звенных йодолактонов 84a-d и 85a-d при йодировании Z-кислот 83a-d [54]. Показано, что регионконтроль в этой реакции осуществляется заместителями у концевого атома углерода кратной связи (схема 32).

Как следует из вышеизложенного материала, стереоконтроль в реакциях электрофильной лактонизации можно осуществить, используя многие факторы, однако основным из них, определяющим стереоселективность реакции, является строение углеродной цепи исходных ненасыщенных кислот. Этот фактор, определяющий стереохими-



79a-f
a R = R₁ = H, 80a/81a = 0 : 100, 48%; b R = Et, R₁ = H, 80b/81b = 94 : 6, 52%;
c R = Bu, R₁ = H, 80c/81c = 75 : 25, 61%; d R = Ph, R₁ = H, 80d/81d = 100 : 0, 90%;
e R = 1-циклогексенил, R₁ = H, 80e/81e = 60 : 40, 41%; f R = H, R₁ = Me, 80f/81f = 0 : 100, 34%
Схема 30

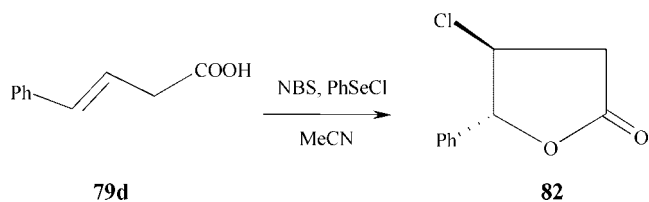
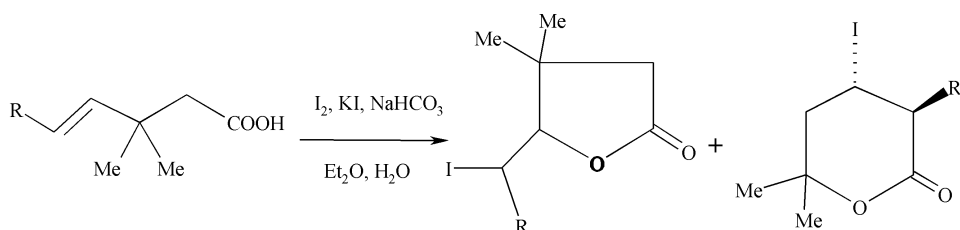


Схема 31



83a-d a R = Me, **84a/85a** = 51 : 49, 81%; b R = *i*-Pr, **84b/85b** = 76 : 24, 93%; c R = *i*-Bu, **84c/85c** = 66 : 34, 95%; d R = *t*-BuCH₂-, **84d/85d** = 20 : 80, 86%; e R = 1- циклогексенил, R₁ = H, **80e/81e** = 60 : 40, 41%; f R = H, R₁ = Me, **80f/81f** = 0 : 100, 34%

Схема 32

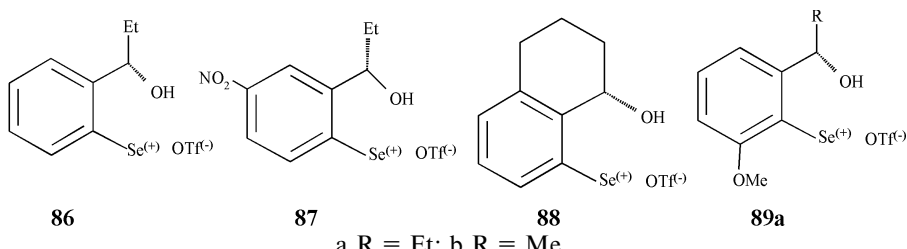


Схема 33

ческий результат реакции, относят к субстрат-контролированным асимметрическим синтезам.

2. Реагентконтролируемый стереоконтроль ЭВЦ ненесыщенных карбоновых кислот

В реагент-контролируемом асимметрическом синтезе конечный стереохимический результат реакции определяется наличием у реакционного центра электрофила хиральных атомов, что часто приводит к образованию конечных продуктов с высокой стереоселективной чистотой.

Использование различного строения селеносодержащих хиральных электрофильных реагентов

для осуществления стереоконтроля реакций ЭГЦ было начато в 1995 году одновременно несколькими группами ученых [85-88].

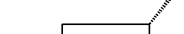
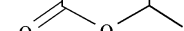
Вирт с соавт. [55, 59-62] использовали в качестве хиральных электрофильных реагентов арил-селенотрифлаты **86-89** (схема 33).

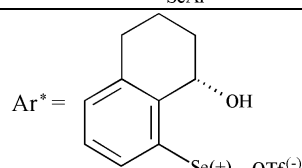
В табл. 2 приведены результаты изучения взаимодействия ненасыщенных кислот **79d**, **90**, **91** с реагентом **88**. Как следует из неё, лактоны **92-94** образуются с умеренными выходами и довольно высокой стереоселективностью.

Лактонизация 3-гексенкарбоновой кислоты **96** при действии серасодержащего хиального электро-

Таблица 2

Селенолактонизация кислот 92-94 при помощи реагента 88

Кислота	Лактон	de, %	Выход, %
 79d	 92	72	41
 90	 93	85	58
 91	 94	80	27



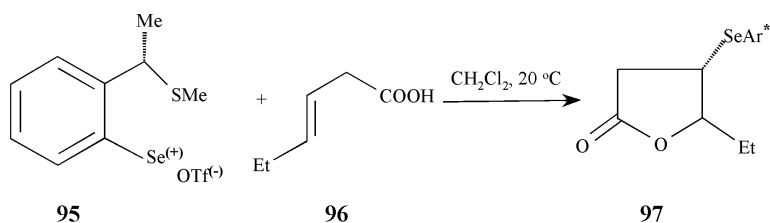


Схема 34

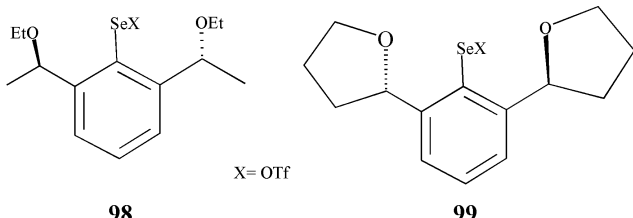


Схема 35

філа **95** сопровождається об’єднанням діастерео-мерних лактонів **97** в соотношенні 89 : 11 з выходом 75% [63-70] (схема 34).

Дезил і соавт. [56, 71-73] використовували для проведення циклізації хіральні електрофільні реагенти, що містять в своєму складі два асиметричні центри: **98** і **99** (схема 35).

Приведені в табл. 3 дані свідчать про об’єднання лактонів з хорошими выходами і високим рівнем стереоселективності.

Слід зазначити, що електрофіл **99** при взаємодействі з кислотою **79d** дає відповідний γ -лактон з выходом 62% і соотношенням ізомерів > 100 : 1.

Томода і соавт. [57, 71] використовували для проведення лактонізації ненасыщених кислот хіральні електрофільні реагенти, що містять третичний атом азоту **107a-d** (схема 36).

В табл. 4 приведені результати електрофільної лактонізації ненасыщених кислот **79b, d, 108-110** найбільш ефективним реагентом **107**. Дані табл. свідчать про високий рівень стереоселективності утворення лактонів **111-115**.

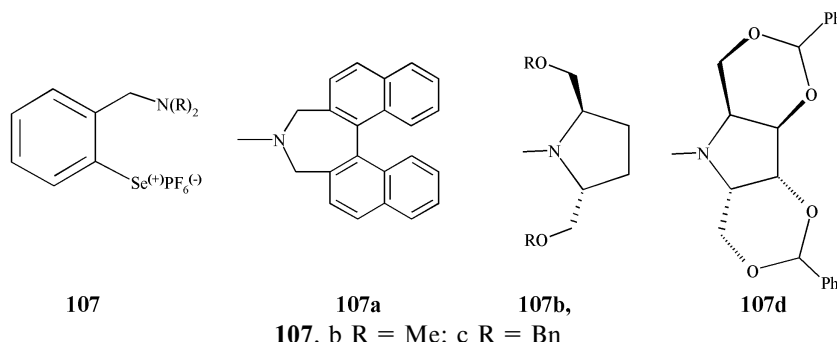


Схема 36

Таблиця 3

Асиметрична селенолактонізація ненасыщених кислот реагентом **98**

Кислота	Лактон	Соотношение изомеров	Выход, %
100 : <chem>CC(C)C=CC(C(=O)C)C(C)C</chem>	92 : <chem>CC(C)C1CCC1[SeAr*]</chem>	20 : 1	72
79d : <chem>CC(C)C=CC(C(=O)C)C1=CC=CC=C1</chem>	104 : <chem>CC(C)C1CCC1[SeAr*]</chem>	13 : 1	72
101 : <chem>CC(C)C=CC(C(=O)C)C(C)C(C)C</chem>	105 : <chem>CC(C)C1CCC1[SeAr*]</chem>	10 : 1	84
102 : <chem>CC(C)C=CC(C(=O)C)C1=CC=CC=C1</chem>	106 : <chem>CC1CCCC1[SeAr*]</chem>	40 : 1	65

Таблиця 4

Селеноциклизация ненасыщенных кислот реагентом 107d

Кислота	Лактон	d.e.	Выход, %
		39	90
		57	81
		>98	90
		92	87
		77	73

Высокий уровень стереоселективного образования лактонов в реакциях ненасыщенных кислот связывают с возможным специфическим строением комплексов атома селена с гетероатомами (**B**), входящими в состав электрофилла (схема 37).

Во многих случаях образование такого комплекса подтверждено теоретическими расчётами, а также ЯМР спектрами [55, 63, 74–76]. Координация атома селена с гетероатомом приводит к фиксированию конформации электрофилла, что играет определяющую роль в процессе стереоселективного образования конечных продуктов реакций ЭГЦ.

Авторами работ [58, 77] для проведения асимметрической селеноциклизации использованы 2-[1-(диметиламино)этил]ферроценилселенил бромид, трифлат, тетрафтороборат, гексафторофосфат **116a-d**. Показано, что образование лактонов **119-123** в результате реакции **116a-d** с ненасыщенными кислотами **79b, 108, 109, 117, 118** проходит с хорошими выходами и высокой диастереоселективностью (табл. 5) (схема 38).

Лактонизация кислот при взаимодействии с Fc^*SeBr (**116a**) протекает только в присутствии избытка триэтиламина. Лучшие результаты по уровню стереоселективного образования лактонов достигнуты при использовании хиральных реагентов **116c,d**, содержащих в качестве противоиона соответственно анионы BF_4^- и PF_6^- .

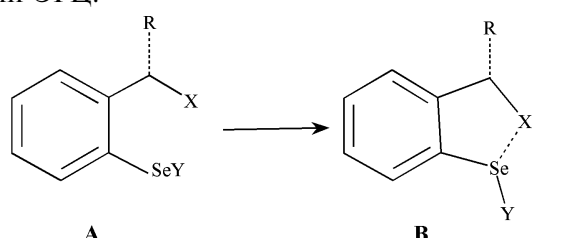
Реакции проводились в CH_2Cl_2 при -78°C (1 час) — 25°C (20 часов).

Известно несколько хиральных электрофиллов **124-127**, полученных на основе (+)-камфоры [78-80], которые были использованы для осуществления реакций ЭГЦ ненасыщенных карбоновых кислот (схема 39).

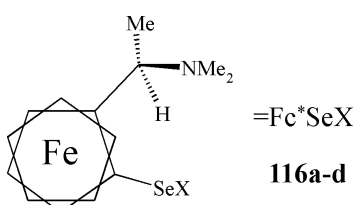
Найдено, что наиболее высокий уровень стереоселективного образования лактонов **130-134** наблюдается при использовании реагента **126** (табл. 6).

По мнению авторов [81], координация атома селена с заместителями во 2-м положении молекулы камфоры играет важную роль в контроле стереохимии реакции лактонизации.

Вместе с тем, следует отметить, что селенилтрифлат **127b** и селенилхлорид при лактонизации



A = $\text{OR}_1, \text{N}(\text{R}_1)_2, \text{SR}_1$; Y = Br, OTf, PF₆, OSO₃H и др.
Схема 37



a X = Br; b X = OTf; c X = BF₄⁻; d X = PF₆⁻
Схема 38

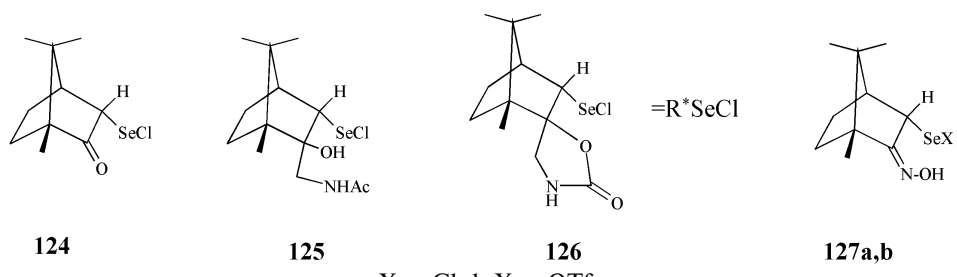


Схема 39

Таблиця 5

Асимметрическая селеноциклизация ненасыщенных кислот при помощи 11б

Кислота	Лактон	d.e.	Выход, %
COOH 109	SeFc* 119	97	91
COOH 108	SeFc* 120	89	87
COOH 117	SeFc* 121	15	46
COOH 118	SeFc* 122	33	76
COOH 79b	SeFc* 123	95	93

кислоты **109** образуют лактон **131** с низкой диастереоселективностью, соответственно 56 : 44 (64%) и 58 : 42 (84%) [81].

В работах [23, 82] изучено влияние природы электрофилла, противоиона-аниона, растворителя и внешней добавки, которая, координируясь с электрофильным реагентом, осуществляет стереоуправление в реакции лактонизации. Показано, что

кислота **79d** при взаимодействии с хиральным электрофилом Ar^*SeOTf , в зависимости от природы внешней добавки, даёт либо лактон **136**, либо продукт присоединения электрофилла **135**. Авторы указанных работ предполагают, что более сильная координация атома селена с уксусной кислотой, чем с метанолом приводит к образованию лактона **136** (схема 40).

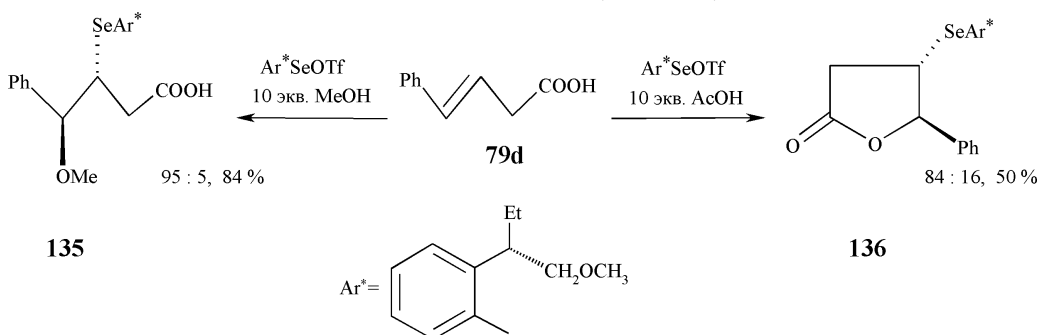
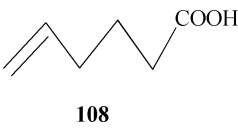
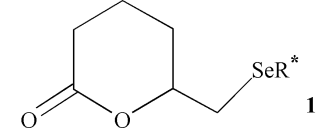
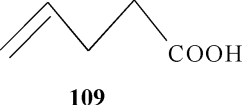
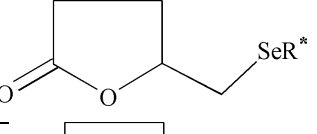
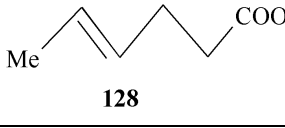
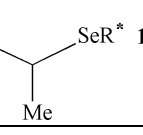
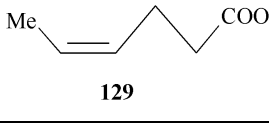
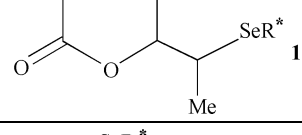
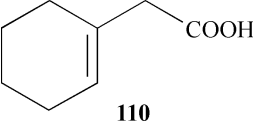
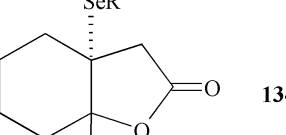


Схема 40

Таблиця 6

Асимметрическая селеноциклизация ненасыщенных кислот 108-110, 128,126 реагентом 126

Кислота	Лактон	Соотношение изомеров	Выход, %
		91 : 9	87
		> 95 : 5	81
		89 : 11	80
		91 : 9	78
		67 : 33	66

При исследовании реакций гетероциклизации соединений **138a-c**, содержащих в молекулах два нуклеофильных центра OR и COOR, найдено, что образование в реакции с хиральными электрофилами **137a-c** производных тетрагидрофурана **139** и **140** либо лактонов **141** и **142** зависит как от строения нуклеофильных центров, так и от природы электрофильного реагента (схема 41).

Так, например, кислота **138a**, в зависимости от природы циклизующего электрофила, в результате экзо-циклизации приводит к образованию как производных тетрагидрофурана **139** и **140**, так и лактонов **141** и **142**. Кислота же **138** даёт только

производные тетрагидрофурана, а кислота **138c** образует исключительно лактон. Следует отметить, что кислота **138a** при взаимодействии с ICl превращается только в йодлактоны **141** и **142** (E = I), а соединение **138b** в результате йодирования даёт производные ТГФ **139** и **140** с выходом 94% [83].

В табл. 7 приведены данные о влиянии природы хирального селенореагента **137a-c** на соотношение образующихся производных ТГФ и лактонов в результате циклизации **138a**.

Анализ табл. 7 свидетельствует, что только реагент **137a** приводит к образованию лактонов, а **137** и **137c** дают смеси ТГФ и лактонов с невысо-

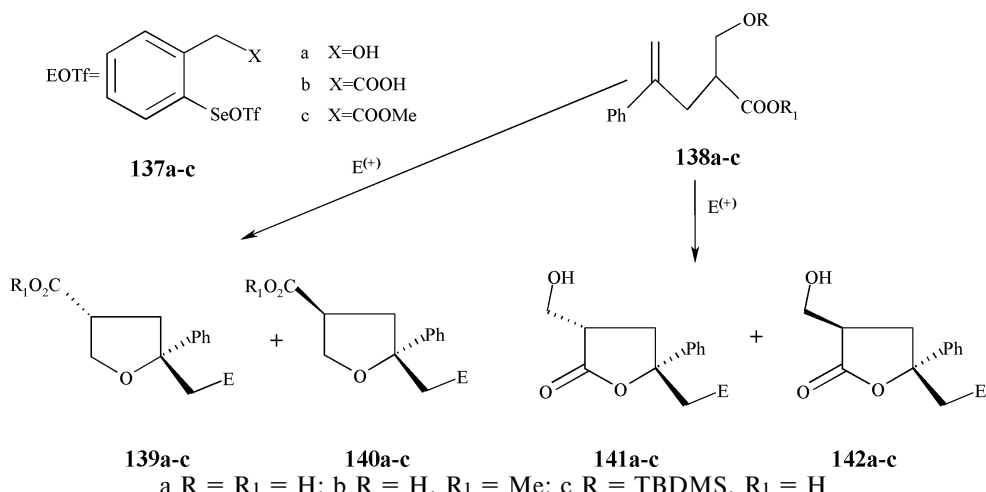
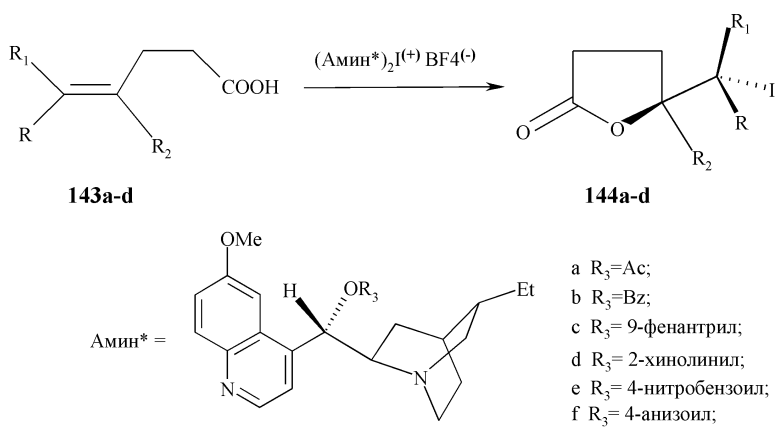


Схема 41



- a $R = R_1 = R_2 = H$, $R_3 = Ac$, e.e. 0%, 62%; b $R = R_2 = H$, $R_1 = Et$, $R_3 = Ac$, e.e. 0%, 70%;
c $R = R_1 = H$, $R_2 = Et$, $R_3 = Ac$, e.e. 0%, 44%; d $R = R_1 = H$, $R_2 = Me$, $R_3 = Ac$, e.e. 0%, 53%;
e $R = R_1 = R_2 = H$, $R_3 = Bz$, e.e. 0%, 54%; f $R = R_2 = H$, $R_1 = Et$, $R_3 = Bz$, e.e. 7%, 80%;
g $R = R_1 = H$, $R_2 = Et$, $R_3 = Bz$, e.e. 0%, 70%; h $R = R_1 = H$, $R_2 = Me$, $R_3 = Bz$, e.e. 3%, 88%

Схема 42

Таблиця 7

Селеноциклизация кислоты 138а реагентами 137а-с

Электрофил	Соотношение			Выход, %
	ТГФ/лактон	139/140	141/142	
137a	0 : 100	-	80 : 20	40-51
137b	46 : 54 - 52 : 48	32 : 68 - 52 : 48	82 : 18 - 84 : 16	45-99
137c	41 : 59 - 50 : 50	24 : 76 - 50 : 50	81 : 10 - 84 : 16	74-91

кой *цис/транс* селективностью. Отмечено также, что добавки метанола, уксусной кислоты мало влияют на процесс циклизации. В электрофиле **137a**, вероятно, имеет место сильное внутримолекулярное взаимодействие между атомом кислорода гидроксильной группы и селеном, что приводит к образованию исключительно лактонов **141/142** независимо от наличия или отсутствия внешних добавок.

Первое сообщение о реагент-контролируемой асимметрической галогенлакто-низации ненасыщенных кислот **143a-d** было опубликовано в работе [83]. Авторы использовали для проведения циклизации хиальный комплекс дигидрохинидина с йодом $[(\text{Амин}^*)_2 I^{(+)} \text{BF}_4^-]$ (схема 42).

Как следует из схемы 42, йодолактонизация кислот **143a-d** с помощью комплекса $[(\text{Амин}^*)_2 I^{(+)} \text{BF}_4^-]$, где Амин* = О-ацил- или О-арилдигидрохинидин **145a,b**, приводит к образованию γ -лактонов **144a-d** с низким уровнем энантиоселективности (e.e. 0-7%) [83].

Циклизация 4-пентеновой кислоты с помощью *бис*-[2-(*-*-метилпиридин]брономий трифлата даёт лактон с энантиомерным избытком только в 4,8% [84].

Используя для реагент-контролируемой йодолактонизации в качестве электрофила ICl в комбинации с различными хиальными первичными аминами, можно достичь значительных уровней стереоселективного образования лактонов [84]. Найдено, что из серии первичных аминов **148-165** (схема 44), исследованных в этой реакции, лучшие результаты получены при использовании R-1-фенилэтиламина **148** (табл. 8).

Вторичные и третичные амины, аминоспирты и аминокислоты, использованные в качестве хиальных лигандов при циклизации **166** с участием ICl , приводят к образованию йодолактонов **167** с более низкой стереоселективностью (от e.e. 50 : 50 до e.e. 52,5 : 47,5), также как и использование других электрофилов (NIS , e.e. 50 : 50; I_2 , e.e. 53,5 : 46,5; IBr , e.e. 54 : 46) [83].

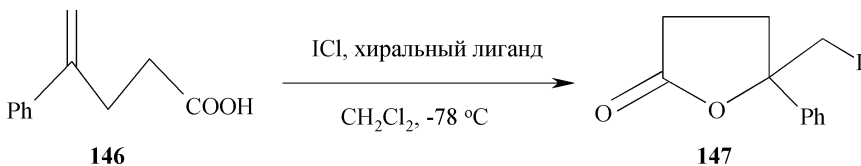


Схема 43

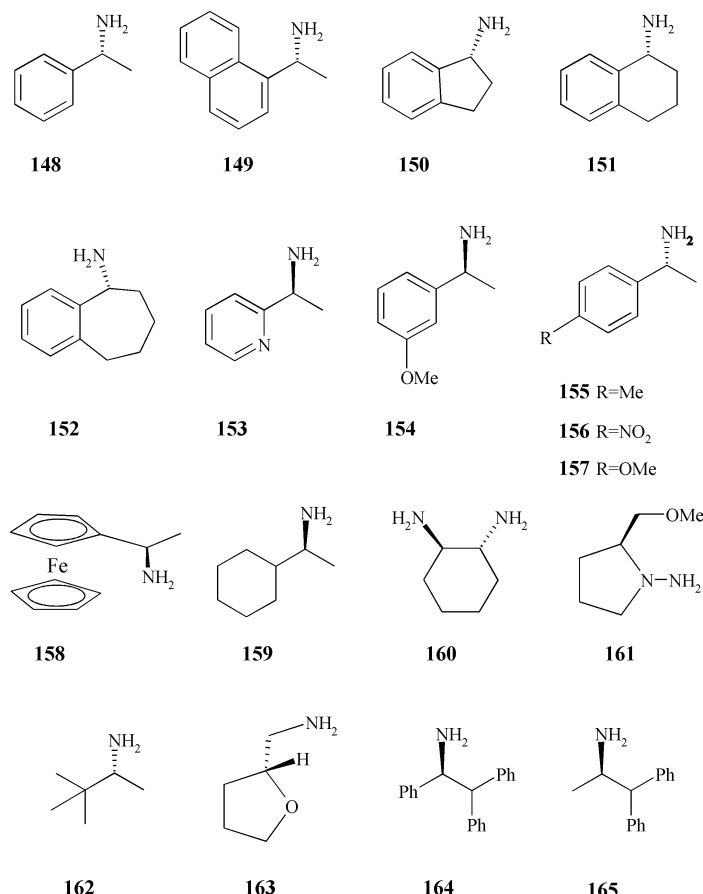


Схема 44

Таблица 8

Стереоселективность йодолактонизации кислоты 146 ICl с использованием первичных хиральных аминов в качестве лигандов

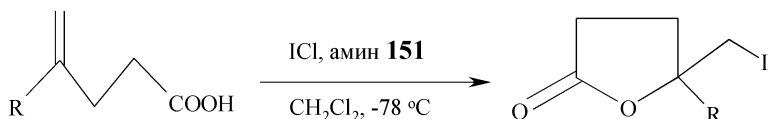
Амин	Соотношение е.е. (S : R) энантиомеров	Амин	Соотношение е.е. (S : R) энантиомеров
148	62,5 : 37,5	149	35 : 65
150	41 : 59	151	27,5 : 72,5
152	45 : 55	153	51,5 : 48,5
154	37 : 63	155	62 : 38
156	53 : 47	156•HCl	50 : 50
157	54,5 : 45,5	158	40,5 : 59,5
159	57 : 43	160	57 : 43
161	57 : 43	162	50 : 50
163	50 : 50	164	52,5 : 47,5
165	51,5 : 48,5		

При изучении влияния растворителя на стереоселективность образования лактонов **160** установлено, что при использовании аминов **148** и **151** наиболее высокая селективность (е.е. 62,5 : 37,5 и е.е. 27,5 : 72,5) достигается при применении дихлорэтана.

При изучении влияния природы заместителя R у двойной связи кислот **166a-h** на стереоселективное образование лактонов **167a-h** установлено (схема 45), что введение в бензольное ядро ненасыщенных кислот **166a-h** электроноакцепторного заместителя R увеличивает селективность их лактонизации.

Выводы

1. Основным фактором, контролирующим стереоселективность электрофильной внутримолекулярной лактонизации НК, является их строение (расстояние между реакционными центрами, конфигурация, конформационная заселённость, которые обусловлены электронной и стерической природой и положением заместителей в цепи или



166a-h

a R = 4-трифторменил, е.е. 26 : 74; b R = 4-хлорфторменил, е.е. 25,5 : 74,5; c R = фенил, е.е. 27,5 : 73,5;
d R = толил, е.е. 29,5 : 70,5; e R = 4-метоксифенил, е.е. 36,5 : 63,5; f R = 2,4-диметоксифенил, е.е. 45 : 55;
g R = Me, е.е. 50 : 50; h R = i-Pr, е.е. 50 : 50

Схема 45

каркасе). Строение НК наряду с природой электрофила контролирует хемо- и региоселективность лактонизации. Условия, благоприятствующие образованию тесных ионных пар, способствуют присоединению электрофила по кратной углерод-углеродной связи НК, а сольватно-разделённых ионных пар — лактонизации НК.

2. Стереоконтроль электрофильной внутримолекулярной лактонизации НК зависит от влияния

факторов кинетического и термодинамического контроля, связанных с возможностью равновесного образования циклических интермедиатов или циклических переходных состояний.

3. Диастереоконтроль электрофильной внутримолекулярной лактонизации НК, в основном, определяется электрофильной природой реагента, степенью его пространственной асимметрии и условиями реакции.

Література

- Станинец В.И., Шилов Е.А. // Усп. хим. — 1971. — Т. 40, №3. — С. 491-512.
- Dowle M.D., Davies D.I. // Chem. Soc. Rev. — 1979. — Vol. 8, №2. — P. 171-197.
- Van Tamelen E.E., Shamma M. // J. Am. Chem. Soc. — 1954. — Vol. 76, №9. — P. 2315-2317.
- Klein J. // J. Am. Chem. Soc. — 1959. — Vol. 81, №14. — P. 3611-3614.
- Linstead R.P., May C.J. // J. Chem. Soc. — 1927. — Pt. №2. — P. 2565-2579.
- Бартлетт П. Стереоконтроль в реакциях циклизации. Современные направления в органическом синтезе. — М.: Мир, 1986. — С. 256-268.
- Геваза Ю.И., Станинец В.И., Зефиров Н.С. Электрофильная внутримолекулярная циклизация олефинов. — К.: Наукова думка, 1990. — С. 49-66, 155.
- Геваза Ю.И., Станинец В.И. // ХГС. — 1988. — №10. — С. 1299-1316.
- Cardillo G., Orena M. // Tetrahedron. — 1990. — Vol. 46, №10. — P. 3321-3408.
- Nicolaou K.C. // Tetrahedron. — 1981. — Vol. 37, №23. — P. 4097-4109.
- Petragnani N., Stefani H.A., Valduga C.J. // Tetrahedron. — 2001. — Vol. 57, №8. — P. 1411-1448.
- Robin S., Rousseau G. // Tetrahedron. — 1998. — Vol. 54, №45. — P. 13691-13735.
- Коряк Э.Б., Геваза Ю.И., Станинец В.И. // Укр. хим. журн. — 1980. — Т. 46, №2. — С. 178-180.
- Bartlett P.A., Myerson J. // J. Am. Chem. Soc. — 1978. — Vol. 100, №12. — P. 3950-3952.
- Bartlett P.A. // Tetrahedron. — 1980. — Vol. 36, №1. — P. 3-72.
- Evans R.D., Magee J.W., Schauble J.H. // Synthesis. — 1988. — №11. — P. 862-868.
- Chamberlin A.R., Mulholland R.L. // Tetrahedron. — 1984. — Vol. 40, №12. — P. 2297-2302.
- Chamberlin A.R., Mulholland R.L., Kahn J.S.D., Hehre W.J. // J. Am. Chem. Soc. — 1987. — Vol. 109, №3. — P. 672-677.
- Chamberlin A.R., Dezube M., Dussault P., McMills M.C. // J. Am. Chem. Soc. — 1983. — Vol. 105, №18. — P. 5819-5825.
- Kauz P., Singh P., Kumar S. // Tetrahedron. — 2005. — Vol. 61, №34. — P. 8231-8240.
- Ohfune U., Hori K., Sakaitani M. // Tetrahedron Lett. — 1986. — Vol. 27, №50. — P. 6079-6082.
- Delle Monache G., Misiti D., Salvatore P., Zappia G. // Tetrahedron: Asymmetry. — 2000. — Vol. 11, №85. — P. 1137-1149.
- Khokhar S.S., Wirth T. // Eur. J. Org. Chem. — 2004. — №22. — P. 4567-4581.
- Ireland R.E., Wipf P., Xiang J-N. // J. Org. Chem. — 1991. — Vol. 56, №11. — P. 3572-3582.
- Hassner A., Pradhan T.K. // Tetrahedron Lett. — 2006. — Vol. 47, №31. — P. 5511-5513.
- Braddock D.C., Cansell G., Hermitage S.A. // Chem. Commun. — 2006. — №23. — P. 2483-2485.
- Bennett F., Knight D.W., Fenton G. // J. Chem. Soc., Perkin Trans.I. — 1991. — №1. — P. 133-140.
- Bennett F., Knight D.W., Fenton G. // J. Chem. Soc., Perkin Trans.I. — 1991. — №6. — P. 1543-1547.
- Bedford S.B., Fenton G., Knight D.W., Shaw D.E. // Tetrahedron Lett. — 1992. — Vol. 33, №43. — P. 6505-6506.
- Bedford S.B., Fenton G., Knight D.W., Shaw D.E. // J. Chem. Soc., Perkin Trans.I. — 1996. — №13. — P. 1505-1509.
- Nicolaou K.C., Seitz S.P., Sipio W.J., Blount J.F. // J. Am. Chem. Soc. — 1979. — Vol. 101, №14. — P. 3884-3893.
- Nicolaou K.C., Claremon D.A., Barnette W.E., Seitz S.P. // J. Am. Chem. Soc. — 1979. — Vol. 101, №13. — P. 3704-3706.
- Jew S.S., Terashima S., Koga K. // Tetrahedron. — 1979. — Vol. 35, №20. — P. 2337-2343.
- Bottaro J.C., Berchtold G.A. // J. Org. Chem. — 1980. — Vol. 45, №6. — P. 1176.
- Simonot B., Rousseau G. // J. Org. Chem. — 1993. — Vol. 58, №1. — P. 4-5.
- Simonot B., Rousseau G. // J. Org. Chem. — 1994. — Vol. 59, №20. — P. 5912-5919.
- Rousseau G., Homsi F. // Chem. Soc. Rev. — 1997. — Vol. 26, №6. — P. 453-461.
- Цегельнюк Л.И., Шилов Е.А. // ЖВХО им. Д.И.Менделеева. — 1968. — Т. 13, №4. — С. 463-464.
- Simonot B., Rousseau G. // Tetrahedron Lett. — 1993. — Vol. 34, №28. — P. 4527-4530.
- Clausen R.P., Bols M. // J. Org. Chem. — 2000. — Vol. 65, №9. — P. 2797-2801.
- Homsi F., Rousseau G. // J. Org. Chem. — 1998. — Vol. 63, №15. — P. 5255-5258.
- Roux M.C., Paugam R., Rousseau G. // J. Org. Chem. — 2001. — Vol. 66, №12. — P. 4304-4310.
- Станинец В.И., Шилов Е.А., Коряк Э.Б. // ЖОрХ. — 1968. — Т. 4, №2. — С. 268-271.
- Barnett W.E., McKenna J.C. // Tetrahedron Lett. — 1971. — №28. — P. 2595-2598.
- Barnett W.E., Sohn W.H. // J. Chem. Soc., Chem. Commun. — 1972. — №8. — P. 472.

46. Barnett W.E., Sohn W.H. // *Tetrahedron Lett.* — 1972. — №18. — P. 1777-1780.
47. Tarbell D.S., Bartlett P.D. // *J. Am. Chem. Soc.* — 1937. — Vol. 59, №2. — P. 407-410.
48. Priece C.C., Blunt H.W. // *J. Org. Chem.* — 1969. — Vol. 34, №8. — P. 2484-2486.
49. Solas D., Wolinsky J. // *Synthesis Commun.* — 1981. — Vol. 11, №8. — P. 609-614.
50. Shibata I., Toyota M., Baba A., Matsuda H. // *J. Org. Chem.* — 1990. — Vol. 55, №8. — P. 2487-2491.
51. Homsi F., Rousseau G. // *J. Org. Chem.* — 1999. — Vol. 64, №1. — P. 81-85.
52. Homsi F., Rousseau G. // *Tetrahedron Lett.* — 1999. — Vol. 40, №8. — P. 1495-1498.
53. Mellegaard S.R., Tunge J.A. // *J. Org. Chem.* — 2004. — Vol. 69, №25. — P. 8979-8981.
54. Obara R., Szymny A., Solnierszyk A. et al. // *Pol. J. Chem.* — 2005. — Vol. 79, №6. — P. 981-993.
55. Wirth T. // *Angew. Chem. (Int. Ed. Engl.)*. — 1995. — Vol. 34, №16. — P. 1726-1729.
56. Deziel R., Malenfant E. // *J. Org. Chem.* — 1995. — Vol. 60, №14. — P. 4660-4662.
57. Fujita K., Murata K., Iwaoka M. // *J. Chem. Soc., Chem. Commun.* — 1995. — №16. — P. 1641-1642.
58. Nishibayashi Y., Srivastava S.K., Takada H. et al. // *J. Chem. Soc., Chem. Commun.* — 1995. — №22. — P. 2321-2322.
59. Fragale G., Wirth T. // *Eur. J. Org. Chem.* — 1998. — №7. — P. 1361-1369.
60. Fragale G., Nueburger M., Wirth T. // *J. Chem. Soc., Chem. Commun.* — 1998. — №17. — P. 1867-1868.
61. Wirth T., Fragale G. // *Synthesis*. — 1998. — №2. — P. 162-166.
62. Wirth T. // *Tetrahedron*. — 1999. — Vol. 55, №1. — P. 1-28.
63. Tiecco M., Testaferri L., Bagnoli L. et al. // *Tetrahedron Lett.* — 2000. — Vol. 41, №17. — P. 3241-3245.
64. Tiecco M., Testaferri L., Santi C. et al. // *Tetrahedron: Asymmetry*. — 2000. — Vol. 11, №23. — P. 4645-4650.
65. Tiecco M., Testaferri L., Marini F. et al. // *Tetrahedron: Asymmetry*. — 2001. — Vol. 12, №10. — P. 1493-1502.
66. Tiecco M., Testaferri L., Marini F. et al. // *Tetrahedron: Asymmetry*. — 2001. — Vol. 12, №21. — P. 3053-3059.
67. Tiecco M., Testaferri L., Bagnoli L. et al. // *Tetrahedron: Asymmetry*. — 2001. — Vol. 12, №23. — P. 3297-3304.
68. Tiecco M., Testaferri L., Santi C. et al. // *Chem. Eur. J.* — 2002. — Vol. 8, №5. — P. 1118-1124.
69. Tiecco M., Testaferri L., Santi C. et al. // *Angew. Chem.* — 2003. — Vol. 42, №27. — P. 3131-3133.
70. Tiecco M., Testaferri L., Santi C. et al. // *Angew. Chem. (Int. Ed. Engl.)*. — 2003. — Vol. 42, №27. — P. 3131-3133.
71. Deziel R., Malenfant E., Belanger G. // *J. Org. Chem.* — 1996. — Vol. 61, №5. — P. 1875-1876.
72. Deziel R., Malenfant E., Thibault C. // *Tetrahedron Lett.* — 1998. — Vol. 39, №31. — P. 5493-5496.
73. Deziel R., Malenfant E., Thibault C. et al. // *Tetrahedron Lett.* — 1997. — Vol. 38, №7. — P. 4753-1756.
74. Fujita K., Murata S., Iwaoka M., Tomoda S. // *Tetrahedron*. — 1997. — Vol. 53, №6. — P. 2029-2048.
75. Iwaoka M., Tomoda S. // *J. Am. Chem. Soc.* — 1996. — Vol. 118, №34. — P. 8077-8084.
76. Komatsu H., Iwaoka M., Tomoda S. // *J. Chem. Soc., Chem. Commun.* — 1999. — №34. — P. 205-206.
77. Takada H., Nishibayashi U., Uemura S. // *J. Chem. Soc., Perkin Trans.I*. — 1999. — №11. — P. 1511-1516.
78. Back T.G., Dyck B.P., Parvez M. // *J. Org. Chem.* — 1995. — Vol. 60, №3. — P. 703-710.
79. Back T.G., Dyck B.P. // *J. Chem. Soc., Chem. Commun.* — 1996. — №22. — P. 2567-2568.
80. Back T.G., Dyck B.P., Nan S. // *Tetrahedron*. — 1999. — Vol. 55, №11. — P. 3191-3208.
81. Back T.G., Moussa Z., Parvez M. // *J. Org. Chem.* — 2002. — Vol. 67, №2. — P. 499-509.
82. Khokhar S.S., Wirth T. // *Angew. Chem. (Int. Ed. Engl.)*. — 2004. — Vol. 43, №5. — P. 631-633.
83. Grossman R.B., Trupp R.J. // *Canad. J. Chem.* — 1998. — Vol. 76, №9. — P. 1233-1237.
84. Cui X.-L., Brown R.S. // *J. Org. Chem.* — 2001. — Vol. 65, №18. — P. 5653-5658.

Надійшла до редакції 12.12.2008 р.